

名古屋工業大学

正員 細井正延

名古屋工業大学大学院

学生員・山口皓三

名古屋工業大学大学院

学生員 伊藤親直

1. はしがき 水路や河川の水路幅縮小部あるいは、水制、防波堤などの構造物近傍の流れの性状を明らかにするためには、断面縮小部の上流側に形成される死水域の形状を知ることが必要である。本論文においては、有限幅水路が種々の角度の縮小部をもつ場合に、Froude 数の比較的小さい流れに対して、層流境界層のはく離理論を用い、また実験を行ってはく離点の位置について検討した。

2. 理論的考察 側壁に沿う流速の減少状態を、ポテンシャル流と考えて等角写像法を用いて求め、次に層流境界層内の流速分布より求めたはく離条件を用いて、はく離点位置の方程式を導いた。

図-1

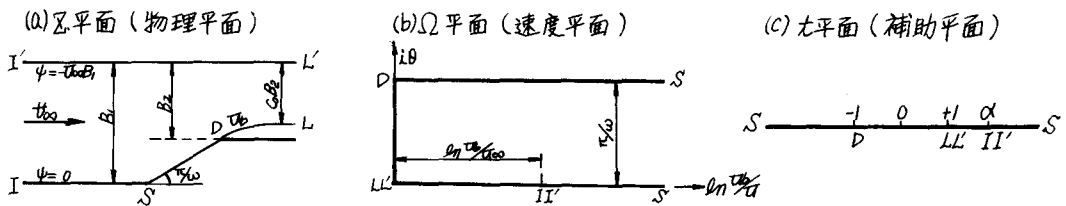


図-1のような物理、速度、補助、複素ポテンシャルの各種平面を考え、Schwarz-Christoffel の変換を用いて、ISに沿う速度分布を求める式次式のようである。

$$\begin{aligned} \frac{dx}{d\eta} &= \frac{2\omega U_{\infty} B_1}{\pi \eta U_b} \cdot \frac{\eta^{\omega-1} (\alpha-1)(\eta^\omega+1)}{(\eta^\omega-1)(\eta^{2\omega}-2\alpha\eta^\omega+1)} \\ &= \frac{2\omega C_0 B_2}{\pi} \cdot \frac{\eta^{\omega-1} (\alpha-1)(\eta^\omega+1)}{(\eta^\omega-1)(\eta^{2\omega}-2\alpha\eta^\omega+1)} \quad \dots \dots \dots \quad (1) \end{aligned}$$

ここに、 $C_0$ : 収縮係数、 $U_{\infty}$ : 上流部の平均流速、 $U_b$ : 自由流線上の流速

この式(1)を  $\chi=0$  で  $\eta=0$  の条件より積分すると式(2)のようないわゆる形で表わされる。

$$\chi = \frac{2\omega C_0 B_2}{\pi} \cdot R(\eta, \alpha) \quad \dots \dots \dots \quad (2)$$

ここに、 $\eta = U/U_b = \alpha U/U_{\infty}$ ,  $\alpha = (\eta^{\omega-1})/(2\omega)$

$\alpha = U_{\infty}/U_b = C_0 B_2/B_1 = C_0 \beta_*$ ,  $\beta_*$ : 水路幅縮小比

式(2)から  $\eta (= \alpha U/U_{\infty})$  と  $\chi$  の関係が求められる。ここでおいて、収縮係数  $C_0$  の値は式(1)を導いたのとほとんど同じ方法で求めることができるので、結果だけ記すと次のようである。

$$\alpha^{\frac{\omega}{2}} = \sqrt{b} - \sqrt{b-1} \quad \dots \dots \dots \quad (3)$$

$$\frac{(\sqrt{b} - \sqrt{b-1})^{\frac{1}{2}}}{\int_0^1 \frac{(\sqrt{(b-1)t + \sqrt{b(t-1)}})^{\frac{1}{2}}}{\sqrt{b} t} dt} = \frac{\pi(1-\beta*) \cosec \frac{\pi}{4} \omega}{\dots} \quad (4)$$

$$\alpha = C_0 \beta_* \quad (5)$$

$\beta_* = B_2/B_1$  及び  $\omega$  の値を与えるれば、式(4)を満足する  $\alpha$  の値が数値積分によって求めることができ、さらに式(3)より  $\lambda$  も求められ、式(5)より  $C_0$  も算出できる。ここで注目すべきことは  $C_0$  が  $U_{\infty}$  に関係しないことである。

次に上記の結果を用いて LSK 沿う流れが壁面からはく離する位置を、藤本の方法を用いて求めることとする。境界層の運動量方程式は式(6)のようになれる。

$$\frac{d\theta^2}{dx} + \frac{\theta^2}{U} \frac{dU}{dx} = \frac{0.4144 U}{U} \quad (6)$$

これを解くと次式のようになる。

$$\frac{\theta^2}{U} = U^5 \left( \frac{\theta^2}{U} \right)_{x=x_0} + 0.4144 U^{-5} \int_{x_0}^x U^4 dx \quad (7)$$

ここで、  $\theta$ ：運動量厚、  $U$ ：動粘性係数、  $x_0$ ：この解法を使い始める位置、 ただし C.G.S 単位を用いるものとする。式(7)にはく離点  $x = x_S$  の条件式(8)を代入すれば式(9)のようになる。

$$\lambda_{x_S} = \left( \frac{\theta^2}{U} \frac{dU}{dx} \right)_{x=x_S} = -0.0888 \quad (8)$$

$$\left( \frac{\theta^2}{U} \right)_{x=x_0} = U^5(x_0) \left\{ \frac{-0.0888}{\left( \frac{dU}{dx} \right)_{x=x_0}} U^4(x_0) - 0.4144 \int_{x_0}^{x_S} U^4 dx \right\} \quad (9)$$

( C.G.S 単位 )

ここで  $x_0$  を与えれば  $x_S$  は求まるはずであるが、  $\frac{\theta^2}{U}$  は境界層の厚さ  $\delta$  などの函数であるために、  $\left( \frac{\theta^2}{U} \right)_{x=x_0}$  の値は容易に求まらない。そこで本研究においては  $x_0$  を、 後述するように  $U/U_{\infty} = 0.95$  のときの  $x$  座標、 すなわち式(2)において  $x_0 = \frac{2\omega C_0 B_2}{\pi} R(\eta, \alpha)_{\eta=0.95}$  の点に固定し、 いくつかの実験値を用いて  $\left( \frac{\theta^2}{U} \right)_{x=x_0}$  の値を求めて、 ある特性を見いたした。さらにその特性を一般的な場合に適用し、 式(9)からはく離点を算定しようというものである。

3. 実験的考察 実験に使用した水路は、 幅  $B_1 = 70$  cm、 長さ  $10$  m の長方形断面で、 水路床勾配は  $1/1000$  である。はく離領域の境界としては Separation Boundary を測定した。縮小部断面の水路幅は  $35, 45, 55$  cm すなわち  $\beta_* = 0.500, 0.643, 0.786$  の 3 種類である。また側壁の接続角度  $\frac{\pi}{W}$  は、  $W = 2, 3, 4, 5, 6$  K に対して  $\frac{\pi}{W} = 90^\circ, 60^\circ, 45^\circ, 35^\circ, 30^\circ$  の 5 種類で、 Froude 数は  $0.10, 0.40$  の 2 種類である。はく離領域の実験結果は図-2 のようである。

この図から、  $W$  が大きくなるにつれてはく離点の位置は原点に近づき、 さらに Froude 数  $< 0.4$  の範囲では Froude 数によるはく離点の位置の変化はほとんどないことがわかる。式(7)からはく離点の位置  $x_S$  に実験値を用いて  $U/U_{\infty} = 0.95$  に対応する  $\left( \frac{\theta^2}{U} \right)_{x=x_0}$  の値を求めると、  $B_2 = 35, 45, 55$  cm,  $W = 2, 3, 4, 5, 6$  K に対してほぼ  $-1 < \left( \frac{\theta^2}{U} \right)_{x=x_0} < -10$  の範囲にあった。したがって  $U/U_{\infty} = 0.95$  で  $\left( \frac{\theta^2}{U} \right)_{x=x_0} = -10$  として、  $B_2, W$  のすべての場合についてはく離点の位置  $x_S$  を計算し、 これらの値と実験値とを比較する

と表-1のようになる。なおそれぞれの場合について側壁に沿う流速分布を式(2)を用いて求めると図-3のようである。

図-2

○ Froude数=0.10

● Froude数=0.40

(a)  $B_2 = 35\text{ cm}$

(b)  $B_2 = 45\text{ cm}$

(c)  $B_2 = 55\text{ cm}$

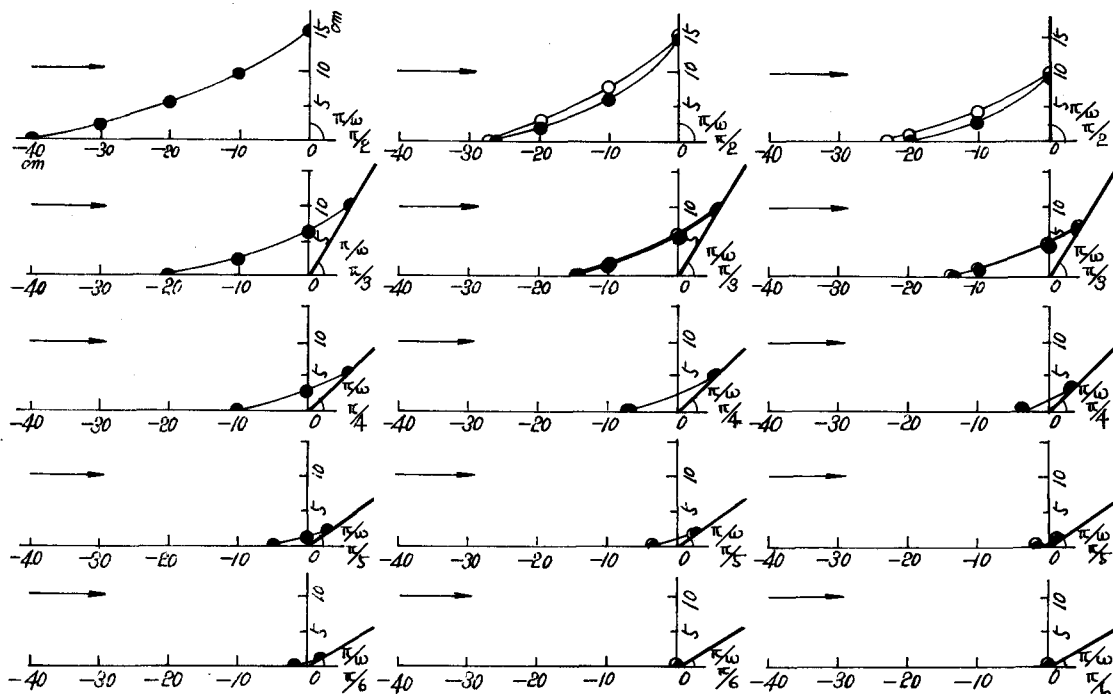


図-3.

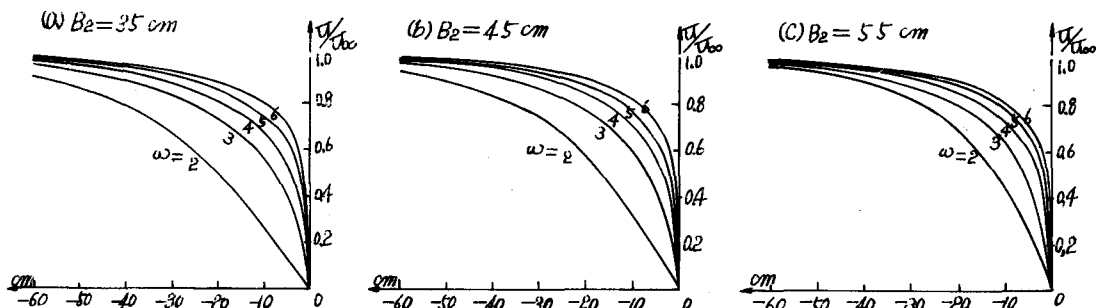


表-1

$W$		2	3	4	5	6							
$B_2$	cm	35	45	55	35	45	55	35	45	55	35	45	55
実験値	cm	$F_F = 0.10$	-40	-28	-24	-16	-13	-7	-4	-4	-2	0	0
		$F_F = 0.40$	-40	-27	-20	-20	-15	-12	-10	-7	-5	-4	-2
計算値	cm	$\frac{U}{U_\infty} = 0.95 \sqrt{\frac{B_2}{20}}$	-44.0	-35.5	-22.9	-26.0	-22.5	-14.9	-13.5	-8.8	-5.1	-6.7	-3.5
			0	-23	0	0	0	0	0	0	0	0	0

以上の考察においては、境界条件として  $X = X_0$  における  $\frac{W^2}{U}$  の値を理論的に与えることはできなかつたが、実用的には Froude 数が小さい場合には  $\frac{W^2}{U} = -10$  として、種々の  $B_*$ ,  $W$ ,  $U_{100}$  の状態に対してもく離点の位置を計算によりてより正確に求めることができる。今後はさらには Froude 数の大きい場合、側壁の粗度を変えた場合、また死水領域の形状について検討するつもりである。

参考文献：

- 1) 石原藤次郎、志方俊之：開水路急縮部の水理学的性状に関する研究 土木学会論文集、昭42.2.